

5	$\beta.305E+\beta\beta$	13	$\beta.325E+\beta\beta$	21	$\beta.283E+\beta\beta$
6	$\beta.482E-\beta I$	14	$\beta.652E-\beta I$	22	$\beta.233E+\beta\beta$
7	$\beta.388E+\beta\beta$	15	$\beta.241E+\beta\beta$	23	$\beta.773E-\beta I$
8	$\beta.256E+\beta\beta$	16	$\beta.295E+\beta\beta$	24	$\beta.294E+\beta\beta$

Из табл. 2 следует, что для рассматриваемых значений  $a_j$  ( $j = 0, 1, 2$ ) величина  $\mu = 0,445$ .

#### у к а з а т е л ь л и т е р а т у р ы

1. Ковалевский М.А. Асимптотическое поведение голоморфных в нуле решений некоторого линейного дифференциального уравнения // Вестн. Ленингр. ун-та, 1978, № 1.
2. Isaacson D. e. d. Numerical analysis of spectral properties of coupled Schrodinger operators. I. Single and double well anharmonic oscillators // Math. Comp. 1981. Vol. 37, № 156.
3. Вазов В. Асимптотические разложения решений обыкновенных дифференциальных уравнений. М., 1968.
4. Датышева К.Я., Терещенко Н.Н., Орел Г.С. Нормально-регулярные решения и их приложения. Киев, 1974.
5. Ковалевский М.А. Нахождение связи между двумя фундаментальными семействами решений обыкновенного линейного дифференциального уравнения // Вестн. Ленингр. ун-та, 1981, № 1.

УДК. 539.3:534.1

А.Л.Смирнов, В.В.Чебанов

#### КОЛЕБАНИЯ КРУГЛОЙ ПЛАСТИНКИ С УПРУГО ЗАКРЕПЛЕННЫМ ГРУЗОМ

Рассматривается задача о поперечных колебаниях тонкой упругой пластинки постоянной толщины, к центру которой упругой связью прикреплен груз. Поскольку решение уравнения колебаний пластинки имеет особенность в центре, т.е. в месте воз-

вычисления сосредоточенной силы, вызванной наличием груза, при все решение граничной задачи затруднено.  
 Воспользуемся при решении данной задачи методом, изложенным в работе [1]. Проанализируем движение груза и пластины, считая, что на них действует сила  $P(t)$ . Силу  $P(t)$  определим из условия равенства перемещения и скорости центра пластины и тела приращенными уругой связи. Перемещения пластины будем искать в виде ряда по собственным формам колебаний пластины без груза и сарезинами.

$$M\ddot{x} + \rho - k_1 x + F, \quad \rho = c(x - w_0),$$

где  $M$  - масса груза;  $x$  - его перемещение;  $k_1$  - коэффициент упругости;  $F$  - внешняя сила, действующая на груз;  $c$  - жесткость;  $w_0$  - перемещение центра пластины;  $\rho$  - сила взаимодействия пластины и груза.  
 Здесь и далее будем рассматривать действие на груз внешней гармонической силы  $F = \bar{F} e^{i\omega t}$ , где  $\omega$  - ее частота,  $\bar{F}$  - амплитуда.

Представим силу  $\rho$  в виде

$$\rho = \sum_{k=1}^{\infty} C_k e^{i\omega_k t} + \bar{\rho} e^{i\omega t}, \quad (1)$$

где  $C_k, \bar{\rho}$  - произвольные постоянные;  $\omega_k$  - собственные частоты колебаний системы пластины - груз;  $t$  - время.  
 Перемещение центра пластины найдем по формуле

$$w_0 = w_{00} + w_{0u},$$

$$w_{00} = \sum_{k=1}^{\infty} w_{0k} C_k e^{i\omega_k t}, \quad w_{0k} = -\frac{1}{c} + \frac{1}{M(\omega_k^2 - k_1 \omega_k t)}, \quad (2)$$

$$w_{0u} = \bar{w}_{0u} e^{i\omega t}, \quad \bar{w}_{0u} = \frac{\bar{F}}{M\omega^2 - k_1 \omega t} + \left( -\frac{1}{c} + \frac{1}{M(\omega^2 - k_1 \omega t)} \right) \bar{\rho}, \quad (3)$$

и перемещение груза - по формулам

$$x_0 = x_{00} + x_{0u},$$

$$x_{00} = \sum_{k=1}^{\infty} C_k e^{i\omega_k t} \left( \frac{1}{M\omega_k^2 - k_1 \omega_k t} \right), \quad (4)$$

$$x_{0u} = \bar{\rho} \left( \frac{1}{M\omega^2 - k_1 \omega t} \right) - \frac{\bar{F}}{M\omega^2 - k_1 \omega t}.$$

Свободные колебания круглой пластины без груза и сарезина описываются уравнением

$$\Delta^2 w + \frac{\rho \lambda a^4}{D} w = 0. \quad (5)$$

Здесь  $\Delta$  - оператор Лапласа;  $w, \rho, \lambda, a$  - прогиб, жесткость, толщина, радиус пластины соответственно. В дальнейшем будем рассматривать только осесимметричные нагрузки, поэтому ограничимся рассмотрением осесимметричных свободных колебаний пластины. Исследуем граничные условия типа условий жесткой заделки. Решение уравнения (5) с указанными граничными условиями имеет вид

$$w = \sum_{n=1}^{\infty} C_n \rho_n e^{i\omega_n t},$$

при этом собственные формы  $\rho_n$  записываем так:

$$\rho_n(x) = J_0(\lambda_n x) - \frac{J_2(\lambda_n)}{I_2(\lambda_n)} I_2(\lambda_n x), \quad (6)$$

где  $x = r/a$ . Частоты колебаний пластины  $\omega_n$  связаны с частотным параметром  $\lambda_n$  выражением

$$\lambda_n^4 = \frac{\rho \lambda a^4}{D} \omega_n^2$$

( $D$  - цилиндрическая жесткость). Частотный параметр  $\lambda_n$  определяется из уравнения

$$J_0(\lambda_n) I_1(\lambda_n) + I_0(\lambda_n) J_1(\lambda_n) = 0. \quad (7)$$



В формулах (6), (7)  $J_0, J_1, I_0, I_1$  - функция Бесселя с мнимым и мнимым аргументом. Согласно данным таблицы для мнимых корней уравнения (7) [2] они известны и при больших  $n$  частотный параметр  $\lambda_n \sim \pi n$ .

Вибрация пластины с грузом и сопротивлением описывается уравнением

$$\Delta^2 \bar{w} + \frac{\lambda_1 a^4}{D} \bar{w} + \frac{\rho \lambda a^4}{D} \bar{w} = \rho \frac{a^4}{D} \delta(ax) + \frac{a^4}{D} Q(x, t). \quad (8)$$

Здесь  $\lambda_1$  - коэффициент сопротивления;  $Q$  - внешняя сила, действующая на пластинку;  $\delta(x)$  - дельта-функция. Рассмотрим свободную на пластинку внешнюю гармоническую силу  $Q = \bar{Q} e^{i\omega t}$ . Представим силу  $\bar{Q}$  в виде (1). Решения уравнения (8) будем искать в виде ряда по одной ортогональной системе функций  $\rho_n$ . Тогда перемещение пластины находим по формуле

$$w = w_0 + w_1, \quad (9)$$

$$w_0 = \frac{a^4}{D} \sum_{n=1}^{\infty} \sum_{m=1}^{\infty} w_{nm} C_m e^{i\omega_n t} \rho_n(x);$$

$$w_{nm} = \frac{\rho_n(0)}{2\pi a^4 N_n \alpha_n(\lambda_n)}; \quad (10)$$

$$\alpha_n(\rho) = \lambda_n^4 - \rho^4 + \lambda_1^* \rho^2 i;$$

$$w_1 = \frac{a^4}{D} \sum_{n=1}^{\infty} w_{1n} e^{i\omega t} \rho_n(x);$$

$$w_{1n} = \frac{1}{\alpha_n(\bar{\omega})} \left( \bar{\beta} \frac{d_n}{a^2} + \bar{\delta} \frac{N_n}{N_n} \right); \quad (11)$$

$$N_n = J_0^2(\lambda_n); \quad d_n = \frac{\rho_n(0)}{2\pi N_n}; \quad N_n = \frac{2J_1(\lambda_n)}{\lambda_n};$$

$$\lambda_1^* = \frac{\lambda_1 a^2}{\sqrt{\rho \lambda D}}; \quad \bar{\delta} = \frac{\rho \lambda a^4 \bar{\omega}^2}{D}.$$

Здесь  $\lambda_1^*$  - безразмерный коэффициент сопротивления;  $\lambda_n$  - частотный параметр при колебании пластины с грузом;  $\bar{\omega}$  - безразмерная частота внешней силы.

Для получения уравнения частот колебаний системы пластины - груз приравняем перемещение центра пластины к точке приложения упругой силы при свободных колебаниях (2), (10), (9) и

$$\Delta(\lambda) = -\frac{1}{c^2} + \frac{\mu}{\beta(\lambda)} \sum_{n=1}^{\infty} \frac{a_n}{\alpha_n(\lambda)} = 0, \quad (12)$$

где  $\lambda_1^* = \frac{\mu \lambda_1^2}{\pi \sqrt{\rho \lambda D}}; \quad \frac{1}{c^2} = \frac{\pi D}{a^2 c}; \quad \beta(\rho) = \rho^4 - \lambda_1^* \rho^2 i;$

$$\mu = \frac{\pi \rho \lambda a^3}{H}; \quad a_n = \frac{1}{2} \left( \frac{1}{J_0(\lambda_n)} - \frac{1}{J_2(\lambda_n)} \right)^2.$$

Уравнение (12) при  $1/c^2 = 0$  получено в работе [3].

Исследуем полученное уравнение (12). В случае колебаний пластины с жестко присоединенным грузом без сопротивления  $c^2 = \infty, \lambda_1^* = \lambda_2^* = 0, \mu \neq 0$ , оно приобретает вид

$$\frac{\mu}{\lambda^4} = \sum_{n=1}^{\infty} \frac{a_n}{\lambda_n^4 - \lambda^4}. \quad (13)$$

Представляет интерес исследование уравнения (13) при малых и больших  $\mu$ . Если масса пластины намного больше массы груза, то  $\mu$  велико. Обозначим  $\epsilon = \sqrt{\mu}, \epsilon \ll 1$ . Используя метод возмущений, из уравнения (13) получим следующее выражение частотного параметра

$$\lambda_j^4 = \lambda_j^0 (1 - a_j \epsilon + O(\epsilon^2)), \quad (14)$$

где  $\lambda_j^0$  - частота колебания пластины без груза. Это выражение справедливо при  $\epsilon \ll 1/a_j$ . Например, при нахождении первой частоты по формулам (14) должно выполняться неравенство  $\mu \gg 5$ . Влияние груза на частоты увеличивается с их возрастанием.

Если масса груза значительно больше массы пластинки, то  $\mu$  мало. Положим  $\epsilon = \mu$ ,  $\epsilon \ll 1$ . Тогда одно решение уравнения (13) имеет вид

$$\lambda_j^4 = \epsilon c_1 + O(\epsilon^2),$$

где  $c_1 = 1 / \sum_{n=1}^{\infty} \frac{a_n}{\lambda_n^4}$ , а остальные частоты находят из уравнения

$$\sum_{n=1}^{\infty} \frac{a_n}{\lambda_n^4 - \lambda^4} = 0. \quad (15)$$

Таким образом, имеется одна сверхнизкая (по  $\epsilon$ ) частота и серия частот, определяемые уравнением (15). При  $\epsilon \rightarrow 0$  первая частота стремится к нулю, а характеризующие уравнением (15) частоты - к некоторым ненулевым значениям.

В случае колебаний пластинки с упруго закрепленным грузом без сопротивления  $\lambda_1^* = \lambda_2^* = 0$ ,  $1/c^* \neq 0$ , и уравнение (12) имеет вид

$$-\frac{1}{c^*} + \frac{\mu}{\lambda^4} = \sum_{n=1}^{\infty} \frac{a_n}{\lambda_n^4 - \lambda^4}.$$

Рассмотрим влияние упругой связи на частоту колебаний.

Если связь почти жесткая,  $1/c^* \ll 1$ . Обозначим  $\epsilon = 1/c^*$ ,  $\epsilon \ll 1$ . Тогда

$$\lambda_j^4 = \lambda_j^{0*} (1 + \epsilon c_1 + O(\epsilon^2)), \quad (16)$$

где  $c_1 = -1 / \left( \frac{\mu}{\lambda_j^{0*}} + \sum_{n=1}^{\infty} \frac{a_n \lambda_j^{0*}}{(\lambda_n^4 - \lambda_j^{0*})^2} \right)$  ( $\lambda_j^0$  - частотный параметр при колебаниях пластинки с жестко закрепленным грузом). Как следует из формулы (15), при уменьшении жесткости частота снижается, а при  $\epsilon = 0$  частотный параметр  $\lambda_j = \lambda_j^0$ .

Если жесткость упругой связи мала, то  $\epsilon = c^*$ ,  $\epsilon \ll 1$ . Первая частота определяется формулой

$$\lambda_1^4 = \epsilon \mu + O(\epsilon^2),$$

а остальные - выражением

$$\lambda_j^4 = \lambda_n^4 - \epsilon a_j + O(\epsilon^2).$$

В этом случае имеется одна сверхнизкая частота, для которой  $\lambda_1 \rightarrow 0$  при  $\epsilon \rightarrow 0$ , а серия пластиночных частот, которые при  $\epsilon = 0$  переходят в частоты колебаний пластинки без груза.

Случай колебаний пластинки с грузом и сопротивлением отличается от вышесказанного тем, что при  $\lambda_1^* \neq 0$ ,  $\lambda_2^* \neq 0$  уравнение (12) имеет не действительные, а комплексные корни. Рассмотрим пластинку с малым сопротивлением. Будем считать  $\lambda_1^* = \lambda_2^* = \lambda$ . Положим  $\epsilon = \lambda$ ,  $\epsilon \ll 1$ . При этом частотный параметр определяется формулой

$$\lambda_j^4 = \lambda_j^{0*} (1 + O(\epsilon^2)) + \epsilon c_1 \epsilon,$$

где  $c_1 = 1/2$ . Таким образом, введение сопротивления приводит к появлению мнимого слагаемого порядка  $\epsilon$ , вследствие чего возникают колебания, и изменение частоты на величину  $\epsilon^2$ . Величины  $\lambda_1^*$  и  $\lambda_2^*$  в реальных системах редко бывают известны. Однако на практике сопротивление, как правило, мало, поэтому в дальнейшем влиянием сопротивления на движение системы во всех случаях, кроме резонансных, когда только введение сопротивления обеспечивает конечность амплитуды колебаний, будем пренебрегать.

Для нахождения величины  $\bar{\beta}$  приравняем суммарный центр пластинки и точки прикрепления упругой связи для вынужденных колебаний, вычисленные по формулам (3), (11). При этом

$$\bar{\beta} = \frac{1}{\Delta(\bar{\beta})} \sum_{n=1}^{\infty} \bar{\alpha}^2 \frac{\lambda_n Q_n(0) \alpha_n}{\lambda_n \omega_n(\bar{\beta})} + \frac{\bar{F} \mu}{\beta(\bar{\beta})}.$$

Подставим выражение для  $\bar{\beta}$  в формулы (4), (11) и определим  $x_n$  и  $w_{n4}$ . В результате получим

$$w_{n4} = \frac{\bar{\alpha}^2}{\bar{\beta}} \bar{w}_{n4}. \quad (17)$$

$$\text{где } \bar{w}_{kn} = \frac{1}{\alpha_n(\beta)} \left( \frac{\sum_{l=1}^{\infty} \frac{\lambda_n \rho_n(0)}{\lambda_n \alpha_n(\beta)} + \frac{F \psi}{\beta(\beta) a^2} \right) \approx a_n + \bar{\omega} \frac{\lambda_n}{N_n}; \quad (15)$$

$$x_n = \frac{a}{\beta} \bar{x}_n; \quad (16)$$

$$\bar{x}_n = \frac{F \psi}{\beta(\beta) a^2} + \frac{\psi}{\beta(\beta) \Delta(\beta)} \left( \frac{F \psi}{\beta(\beta) a^2} + \sum_{l=1}^{\infty} \frac{\lambda_n \rho_n(0) \bar{\omega}}{N_n \alpha_n(\beta)} \right). \quad (20)$$

В частности, при ударе, когда на систему действует лишь одна сила, для  $F$  и  $\bar{\omega}$  справедливы выражения

$$\bar{\omega} = q \Delta \psi, \quad F = N \psi, \quad F = a^2 \bar{\omega} / \psi,$$

где  $N$  — ударе системы.

Таким образом, общее решение уравнения (8) представляется формулой (9), для  $w_{kn}, x_k, w_{kn}, x_n$  вычисляются по формулам (10), (11), (17) — (20). При отсутствии сопротивления внешней среде в решении удобнее представить в виде

$$q = q^a \sin \nu t - q^c \cos \nu t,$$

$$w = \frac{a}{\beta} \sum_{k=1}^{\infty} \sum_{l=1}^{\infty} (q^a c_k^a \sin \omega_{kn} t + q^c c_k^c \cos \omega_{kn} t + w_{kn}) \rho_n(x). \quad (21)$$

Здесь  $c_k^a, c_k^c$  — произвольные постоянные. Частоты и коэффициенты в формулах (21) и (9) связаны соотношениями

$$c_k^a = (C_k^a - C_k^c) t, \quad C_k^c = C_k^a + C_k^c, \quad \omega_k = \omega_{-k}, \quad w_{kn} = w_{-kn}.$$

Произвольные постоянные определяются по начальным условиям. Пусть, например, начальные условия имеют вид  $w(0) = 0, \dot{w}(0) = 0, x(0) = 0, \dot{x}(0) = 0$ . Тогда коэффициенты  $C_k^a$  и  $C_k^c$  определяем по системе уравнений

$$\sum_{k=1}^{\infty} C_k^a w_{kn} \omega_k = -\nu w_{n0}, \quad \sum_{k=1}^{\infty} C_k^c w_{kn} \omega_k = -\nu x_{n0}, \quad (22)$$

$$\sum_{k=1}^{\infty} C_k^c w_{kn} = -w_{n0}, \quad \sum_{k=1}^{\infty} C_k^a x_k = -x_{n0}.$$

Так как главными в бесконечной системе уравнений (22) являются быстро убывающие диагональные элементы, решение этой системы  $C_k^a, C_k^c$  быстро убывает с возрастанием  $k$ . Поэтому при построении решения можно ограничиться нахождением нескольких первых коэффициентов  $C_k^a, C_k^c$ , решив для этого систему уравнений конечного порядка.

Представляет интерес исследование колебаний системы под действием внешних сил, частоты которых близки к резонансным. В этом случае максимальной амплитуды вынужденные колебания. Значения  $\Delta(\beta)$  оказываются малой, что приводит к значительному увеличению амплитуды.

Рассмотрим пластинку с малым сопротивлением:  $\lambda_n^* = \lambda_n, \omega_n^* = \lambda_n, \omega_n \ll 1$ . Тогда

$$|\Delta(\beta)| = \omega \left( \frac{\lambda^2}{\beta^2} + \sum_{n=1}^{\infty} \frac{\lambda_n \beta^2}{(\lambda_n^2 - \beta^2)^2} \right) + O(\omega^2).$$

При этом прогиб в центре пластинки определяется формулой

$$|w_0| = \frac{a}{\beta} A_0 |\bar{\omega}| \left( \frac{1}{\omega} + Q(t) \right), \quad (23)$$

$$\text{где } A_0 = \left( \frac{\psi}{\beta^2} - \frac{1}{c^*} \right) \left( \sum_{n=1}^{\infty} \frac{\lambda_n \rho_n(0)}{N_n (\lambda_n^2 - \beta^2)} + \frac{1}{\beta^2} \right) \left( \frac{\lambda^2}{\beta^2} + \sum_{n=1}^{\infty} \frac{\lambda_n \beta^2}{(\lambda_n^2 - \beta^2)^2} \right).$$

Таким образом, амплитуда уменьшается с возрастанием  $\omega$ . Сильно близкие частоты не влияют на амплитуду. Остатки в формуле (23) при больших  $\beta$  только главные члены  $w_{nn} = 1/(\lambda_n^2 - \beta^2)$ . Тогда  $A_0 \approx 1/\beta^2 - 1/\lambda_n^2$ . Следовательно, амплитуда обратно пропорциональна частоте внешней силы.

В качестве примера была рассмотрена система со следующими параметрами:  $a = 7,5 \cdot 10^{-3}$  м,  $\lambda = 10^{-3}$  м,  $\rho = 2,24 \cdot 10^3$  кг/м<sup>3</sup>,  $\sigma = 0,22$ ,  $E = 3,34 \cdot 10^{10}$  Н/м<sup>2</sup>,  $N = 2,88 \cdot 10^{-3}$  кг,  $c = 0,24 \cdot 10^6$  Н/м. При этом  $\mu = 13,5$ ,  $c^* = 0,16 \cdot 10^6$ . Первые три корня уравнения (12) имеют значения  $\lambda_1 = 2,93$ ,  $\lambda_2 = 5,59$ ,  $\lambda_3 = 8,36$ . Им соответствуют частоты  $\omega_1 = 276$ ,  $\omega_2 = 1010$ ,  $\omega_3 = 2860$  1/с.

экспериментальные значения низших частот свободных колебаний данной системы таковы:  $\nu_1^{\text{экс}} = 350$ ,  $\nu_2^{\text{экс}} = 1146$ ,  $\nu_3^{\text{экс}} = 2014$ . Им соответствуют частотные параметры  $\lambda_1^{\text{экс}} = 3,29$ ,  $\lambda_2^{\text{экс}} = 5,29$ ,  $\lambda_3^{\text{экс}} = 7,89$ . Наименьшее значение частотного параметра найдено по приближенной формуле (14), откуда  $\lambda_1^{\text{пр}} = 2,81$ ,  $\nu_1^{\text{пр}} = 254$  Гц.

### Указатель литературы

1. Бабич Д.В., Борисенко В.И., Шпаковская С.Г. Свободные колебания пластинки с сосредоточенными массами // Прикл. мех. Киев, 1969, № 5.
2. Гонтькевич В.С. Собственные колебания пластин и оболочек. Киев, 1969.

УДК 539.3

С.М.Бауэр, С.В.Вотко

### К РАСЧЕТУ КОНСТРУКЦИИ ОБЪЕКТИВА СТЕРЕНЕВОГО ТИПА

Расчет конструкций телескопов приводится во многих работах (например, в работах [1, 2]). В большинстве из них используются кривые трубы по схеме Серрирье. Конструкция в эллипсе состоит из трех основных деталей, соединенных че-

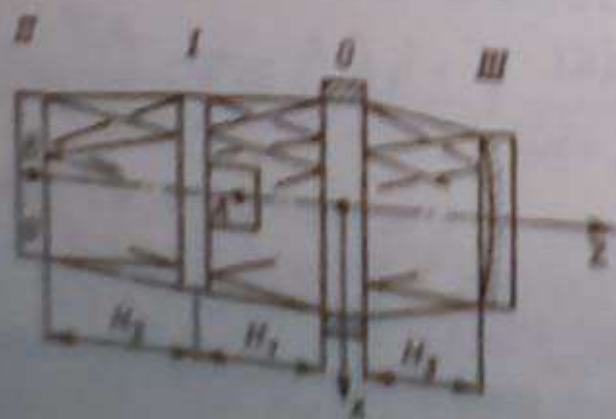


Рис. 1.

рами определенно размещенных стержней так, чтобы обеспечить минимальные деформации вторичного зеркала при различных положениях трубы в трубе.

В данной работе рассматривается конструкция, состоящая из четырех основных деталей, соединенных подпружиненно. На тело II

составляют (рис. 1). Тело O